УЛК 535.14

СТАТИСТИЧЕСКИЕ ХАРАКТЕРИСТИКИ КВАНТОВЫХ ПОЛЯРИЗАЦИОННЫХ СОСТОЯНИЙ, ФОРМИРУЕМЫХ В РДС-КРИСТАЛЛАХ: МАТЕМАТИЧЕСКОЕ МОДЕЛИРОВАНИЕ

© 2020 г. А. В. Белинский¹, Р. Сингх^{1, *}

¹Федеральное государственное бюджетное учреждение высшего образования, Московский государственный университет имени М.В. Ломоносова, физический факультет, Москва, Россия *E-mail: ranjit.singh@mail.ru

Поступила в редакцию 29.07.2019 г. После доработки 30.08.2019 г. Принята к публикации 27.09.2019 г.

Рассмотрены вырожденный параметрический процесс и суммарная генерация обыкновенной и необыкновенной оптических волн внутри регулярной доменной структурой (РДС) кристалла с квадратичной нелинейностью. Развита квантовая теория описания статистических характеристик поляризационных состояний света для РДС-кристалла. Установлено, что степенью поляризации можно управлять с помощью дисбаланса интенсивностей мод на частотах обыкновенной и необыкновенной оптических волн: уменьшения среднего количества фотонов в одной и его увеличения в другой.

DOI: 10.31857/S036767652001007X

ВВЕДЕНИЕ

Квантовые поляризационные характеристики света играют важную роль в задачах квантовой оптики и квантовой информатики. Обычно для изучения поляризационных характеристик света применяются наблюдаемые операторы Стокса, Джонса и их дисперсии. Перечислим некоторые достижения теории и эксперимента поляризационной квантовой оптики, которые связаны с многомодовыми состояниями света.

В работе [1] была предложена и теоретически обоснована концепция поляризационно-сжатого света. Она была применена для нелинейных анизотропных сред с кубической нелинейностью. В этом же году была разработана теория и экспериментально обнаружен свет со скрытой поляризацией в нелинейной среде с квадратичной нелинейностью в монодоменном кристалле [2] при вырожденном спонтанном параметрическом рассеянии, при котором все средние значения операторов Стокса равны нулю (или значение степени поляризации равно нулю), а значение дисперсии одного из операторов Стокса отличается от других. Отметим, что среднее значение параметров Стокса при вырожденном параметрическом рассеянии равно нулю за счет неопределенности фазы между модами разных поляризаций, а скрытая поляризация появляется за счет запутанности и строгой корреляции состояний поляризации мод рождающихся бифотонов.

Следует отметить также метод поляризационной томографии квантовых состояний света с помощью функции поляризационной квазивероятности [3]. Функция поляризационной квазивероятности использовалась для различных примеров поляризационных состояний. Первый эксперимент по восстановлению функции поляризационной квазивероятности был осуществлен для спонтанного параметрического рассеяния в нелинейном монодоменном кристалле с квадратичной нелинейностью [3]. Такие состояния света полезны, например, в сверхчувствительных оптических измерениях [4] и протоколах квантовой криптографии, в частности, ВВ84 и Е91.

В последние годы активно рассматривается применение поляризационных свойств света в обработке фантомных изображений с помощью поляризационно-запутанных состояний. В работе [5] предлагается фиксировать не просто парные совпадения фотоотсчетов, но и совпадения их состояний поляризации. При этом достигается дополнительное подавление шума.

Поляризационные характеристики света играют важную роль при изучении свойств объектов, подсвечиваемых обыкновенным или поляризованным светом, то есть в задачах поляриметрии [6], в том числе и методами формирования поляризационных фантомных изображений [7].

Обычно для приготовления квантовых поляризационных состояний света используются монодоменные нелинейные оптические кристаллы

с квадратичной нелинейностью. Но в последнее время растет интерес и к кристаллам с регулярной доменной структурой (РДС). Он связан с тем, что появляется дополнительная степень свободы для реализации того или иного фазового синхронизма. В результате одновременно могут происходить различные нелинейные процессы в одном и том же кристалле, например, параметрическое рассеяние света и генерация суммарных гармоник как независимо, так и каскадно, см., например, [8].

В данной работе рассмотрены особенности квантовых статистических характеристик поляризационных состояний света для РДС-кристалла при выполнении условия квазисинхронизма двух процессов: параметрического и генерации суммарных частот методом диагонализации гамильтониана.

НЕЛИНЕЙНЫЕ ПРОЦЕССЫ В РДС-КРИСТАЛЛЕ

Рассмотрим 4 плоские монохроматические моды с частотами ω_o , ω_e , $2\omega_e$, $3\omega_e$ и характеризуемые операторами уничтожения (рождения) фотона: $\hat{a}_{lo}(\hat{a}_{lo}^+)$, $\hat{a}_{1e}(\hat{a}_{le}^+)$, $\hat{a}_{2e}(\hat{a}_{2e}^+)$ и $\hat{a}_{3e}(\hat{a}_{3e}^+)$. Эти моды коллинеарно распространяются внутри РДС-кристалла с квадратичной нелинейностью. Операторы удовлетворяют стандартным коммутационным соотношениям: $\left[\hat{a}_{jp},\hat{a}_{kp}^+\right]=\delta_{jp,kp}$ (j,k=1,2,3;p=o,e). Одновременно происходят два процесса: параметрический процесс (тип II) и преобразование частоты вверх за счет суммирования частот субгармоник с частотой накачки [8]:

$$\omega_{o} + \omega_{e} = 2\omega_{e},
\delta k_{1} = k_{2e} - k_{1o} - k_{1e} +
+ m_{1}G_{1} = \Delta k_{1} + m_{1}G_{1},
\omega_{o} + 2\omega_{e} = 3\omega_{e},
\delta k_{2} = k_{3e} - k_{1o} - k_{2e} +
+ m_{2}G_{2} = \Delta k_{2} + m_{2}G_{2},$$
(1a)

где k_{jp} — абсолютные значения волновых векторов мод с частотами ω_{jp} ; Δk_q — волновые расстройки соответствующих процессов для однородного кристалла; q=1,2; $m_q=\pm 1,\pm 3,\pm 5,\cdots$ — порядки квазисинхронизма; $G_q=2\pi/\Lambda_q$ — волновое число (модуль "псевдовектора" решетки доменной структуры с периодом Λ_q). Выполнение условия квазисинхронизма для процессов (1a), (1б) соответствует $\delta k_q=0$. Одновременный квазисинхронизм в одной и той же доменной структуре $G=G_1=G_2$ для двух (1a), (1б) процессов можно реализовать, например, при различных порядках

квазисинхронизма m_q или при разных длинах когерентности $L_q=\pi/\Delta k_q=\Lambda_q/2m_q$ в РДС-кристалле LiNbO $_3$ [8].

Гамильтониан взаимодействия рассматриваемых процессов имеет вид [8]:

$$\hat{H}_{int} = \hbar \left(\gamma_1 \hat{a}_{1o}^{\dagger} \hat{a}_{1e}^{\dagger} \hat{a}_{2e}^{\dagger} + \gamma_2 \hat{a}_{1o} \hat{a}_{2e} \hat{a}_{3e}^{\dagger} \right) + \text{s.c.}, \tag{2}$$

где \hbar — постоянная Планка, $\gamma_{1,2}$ — коэффициенты нелинейного взаимодействия, э.с. — эрмитово сопряжение. Это приближение плоских монохроматических мод при коллинеарном взаимодействии. Поперечная пространственная структура пучков при этом полагается однородной.

Операторные уравнения движения по длине взаимодействия *z* внутри РДС-кристалла в представлении Гейзенберга описываются динамическим уравнением

$$\frac{d\hat{a}_{jp}}{dz} = -\frac{i}{\hbar} \left[\hat{a}_{jp}, \hat{H}_{int} \right]. \tag{3}$$

Введем безразмерные нелинейные коэффициенты связи $\xi = \gamma_2/\gamma_1$. Тогда гамильтониан взаимодействия (2) примет следующий вид:

$$\hat{H}'_{int} = \hbar \left(\hat{a}_{1o}^{\dagger} \hat{a}_{1e}^{\dagger} \hat{a}_{2e} + \xi \hat{a}_{1o} \hat{a}_{2e} \hat{a}_{3e}^{\dagger} \right) + \text{s.c.}$$
 (4)

Введем приведенную длину взаимодействия $\zeta = \gamma_1 z$, диагонализируем гамильтониан взаимодействия (4) методом [9, 10] и найдем его собственные векторы и собственные значения.

СТАТИСТИЧЕСКИЕ ХАРАКТЕРИСТИКИ ПОЛЯРИЗАЦИОННЫХ МОД

Для изучения поляризационных характеристик ортогональных мод 1o и 1e вычисляются, как это принято [1–6, 8, 11, 12], значения среднего числа фотонов

$$N_{in}(\zeta) = \langle \hat{a}_{in}^{+}(\zeta) \hat{a}_{in}(\zeta) \rangle, \tag{5}$$

коэффициентов корреляции фотонов между разными модами

$$g_{\text{lole}}^{(2)}\left(\zeta\right) = \frac{\left\langle \hat{a}_{\text{lo}}^{+}\left(\zeta\right)\hat{a}_{\text{lo}}\left(\zeta\right)\hat{a}_{\text{le}}^{+}\left(\zeta\right)\hat{a}_{\text{le}}\left(\zeta\right)\right\rangle}{N_{\text{lo}}\left(\zeta\right)N_{\text{le}}\left(\zeta\right)},\tag{6}$$

среднего значения операторов Стокса

$$\left\langle \hat{S}_{0,l}\left(\zeta\right)\right\rangle = \left\langle \hat{a}_{lo}^{+}\left(\zeta\right)\hat{a}_{lo}\left(\zeta\right) \pm \hat{a}_{le}^{+}\left(\zeta\right)\hat{a}_{le}\left(\zeta\right)\right\rangle,\tag{7}$$

$$\left\langle \hat{S}_{2}\left(\zeta\right)\right\rangle =\left\langle \hat{a}_{lo}^{+}\left(\zeta\right)\hat{a}_{le}\left(\zeta\right)+\hat{a}_{le}^{+}\left(\zeta\right)\hat{a}_{lo}\left(\zeta\right)\right\rangle ,\tag{8}$$

$$\langle \hat{S}_{3}(\zeta) \rangle = \langle i \hat{a}_{le}^{+}(\zeta) \hat{a}_{lo}(\zeta) - \hat{a}_{lo}^{+}(\zeta) \hat{a}_{le}(\zeta) \rangle, \qquad (9)$$

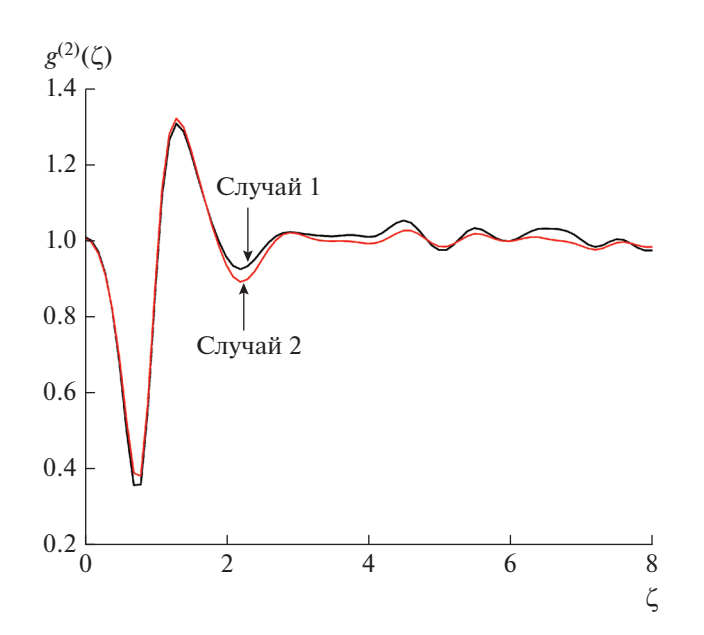


Рис. 1. Коэффициент корреляции 2-го порядка мод 1o, 1e для случаев 1 и 2.

нормированных на $\left\langle \Delta \hat{S}_{0}^{2}\left(\zeta\right) \right\rangle$ дисперсии операторов Стокса

$$\left\langle \Delta \hat{V}_{j}^{2}\left(\zeta\right)\right\rangle = \frac{\left\langle \Delta \hat{S}_{j}^{2}\left(\zeta\right)\right\rangle}{\left\langle \Delta \hat{S}_{0}^{2}\left(0\right)\right\rangle},\tag{10}$$

где, $\left\langle \Delta \hat{S}_{j}^{2}\left(\zeta\right)\right\rangle =\left\langle \hat{S}_{j}^{2}\left(\zeta\right)\right\rangle -\left\langle \hat{S}_{j}\left(\zeta\right)^{2}\right\rangle$ и $\left\langle \Delta \hat{S}_{0}^{2}\left(\zeta\right)\right\rangle =\left\langle \hat{S}_{0}^{2}\left(\zeta\right)\right\rangle -\left\langle \hat{S}_{0}\left(\zeta\right)^{2}\right\rangle$, степени поляризации взаимодействующих ортогональных мод

$$PoD(\zeta) = \sqrt{\frac{\sum_{k=1}^{3} \langle \hat{S}_{k}(\zeta) \rangle^{2}}{\sum_{k=1}^{3} \langle \hat{S}_{k}^{2}(\zeta) \rangle}}.$$
 (11)

Операторы Стокса $\hat{S}_{0,1,2,3}(\zeta)$ удовлетворяют следующим коммутационным соотношениям:

$$\left[\hat{S}_0(\zeta), \hat{S}_j(\zeta)\right] = 0, \tag{12}$$

$$\left[\hat{S}_{l}(\zeta), \hat{S}_{k}(\zeta)\right] = 2i\hat{S}_{l}(\zeta), \quad (j, k, l = 1, 2, 3). \tag{13}$$

Соотношение неопределенности для операторов Стокса имеет вид

$$\langle \Delta \hat{S}_{j}^{2}(\zeta) \rangle \langle \Delta \hat{S}_{k}^{2}(\zeta) \rangle \ge |\hat{S}_{l}(\zeta)|^{2}, \quad (j \ne k \ne l).$$
 (14)

Расчеты проводили для следующих случаев:

1. $\xi = 0,6$ и при этом на входе ($\zeta = 0$) РДС-кристалла моды 2e и 3e полагались в вакуумном состоянии $|0\rangle$, а накачка 1e, 1e — в когерентном со-

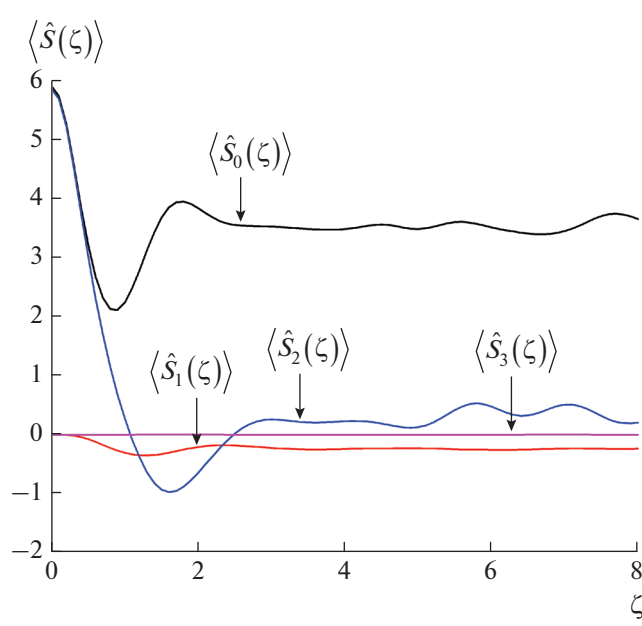


Рис. 2. Динамика средних значений операторов Стокса для случая 1. Аналогичную ситуацию описывают кривые для случая 2.

стоянии со средним числом фотонов $|\alpha_{lo}\rangle=3$ и $|\alpha_{le}\rangle=3$ и фазой $\phi_{lo,le}=\pi/3$, т.е., $|3\rangle|3\rangle|0\rangle|0\rangle$,

 $2.~\xi=0,6$ и при этом на входе ($\zeta=0$) РДС-кристалла моды 2e и 3e полагались в вакуумном состоянии $|0\rangle$, а накачка 1o, 1e- в когерентном состоянии со средним числом фотонов $|\alpha_{1o}\rangle=2$ и $|\alpha_{1e}\rangle=3$ и фазой $\phi_{1o,1e}=\pi/3$, т.е., $|2\rangle|3\rangle|0\rangle|0\rangle$.

РЕЗУЛЬТАТЫ И ИХ ОБСУЖДЕНИЕ

Рис. 1 иллюстрирует динамику значений коэффициентов корреляции или, другими словами, фактора $g^{(2)}$, внутри РДС-кристалла для мод lo, le. Видно, что кривые $g^{(2)}$ осциллируют по мере возрастания длины взаимодействия и стремятся к значению 1. Для качественной обработки фантомных изображений можно использовать дополнительные поляризационные степени свободы света помимо регистрации фототоков в коррелированных модах lo, le, как это предложено в [5]. Правда при этом они должны усиливать вакуумные состояния, а не когерентные.

На рис. 2 отображены средние значения операторов Стокса, которые характеризуют состояния поляризации ортогональных мод 1o и 1e. Свет считается полностью неполяризованным, если $\langle \hat{S}_0(\zeta) \rangle > 0$ [12], и при этом остальные операторы Стокса принимают значения $\langle \hat{S}_{1,2,3}(\zeta) \rangle = 0$. Он

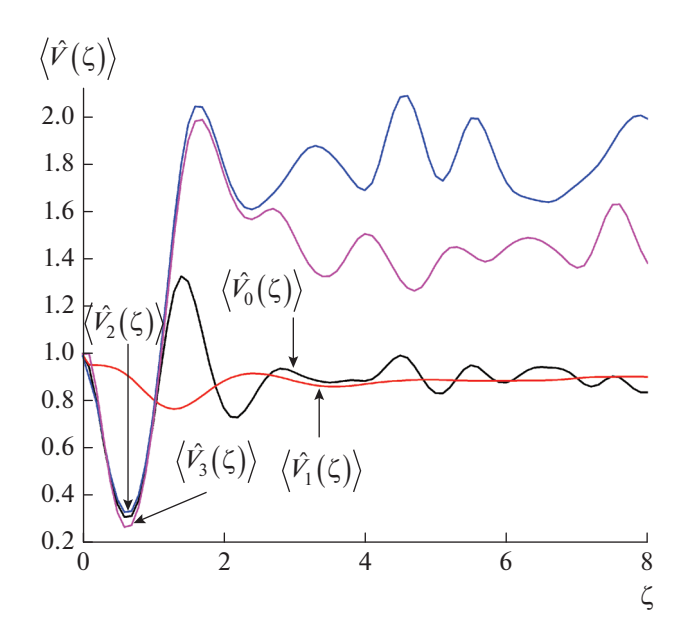


Рис. 3. Динамика нормированных значений дисперсий операторов Стокса для случая 1. Аналогичную ситуацию описывают кривые для случая 2.

обладает горизонтальной (вертикальной) поляризацией, если значения $\left\langle \hat{S}_{0}\left(\zeta\right)\right\rangle >0, \left\langle \hat{S}_{1}\left(\zeta\right)\right\rangle \neq0,$ и $\left\langle \hat{S}_{2,3}\left(\zeta\right)\right\rangle =0.$ У линейно поляризованного света с углом +45° (-45°) значения $\left\langle \hat{S}_{0}\left(\zeta\right)\right\rangle >0, \left\langle \hat{S}_{2}\left(\zeta\right)\right\rangle \neq0,$ $\left\langle \hat{S}_{1,3}\left(\zeta\right)\right\rangle =0.$ Для правой или левой круговой поляризации $\left\langle \hat{S}_{0}\left(\zeta\right)\right\rangle >0, \left\langle \hat{S}_{3}\left(\zeta\right)\right\rangle \neq0,$ $\left\langle \hat{S}_{1,2}\left(\zeta\right)\right\rangle =0.$

Кривые на рис. 2 демонстрируют преобладание смешанной поляризации. Количественное описание степени поляризации отображено на рис. 4.

На начальном этапе взаимодействия (рис. 3) дисперсия всех четырех нормированных операторов Стокса становится субпуассоновской ($\hat{V}_{0.1,2,3} < 1$), а затем суперпуассоновской ($\hat{V}_{0,2,3} > 1$). При этом, разумеется, не нарушаются соотношения (12)—(14). Одновременно подавление дисперсий всех операторов Стокса было установлено ранее в приближении заданного поля, то есть, когда накачка на частоте 20 полагалась неистощимой, а остальные в вакуумном состоянии, кроме мод 10, 1е, которые находились в когерентном состоянии со средним числом фотонов 1 [8] и система уравнений (3) становилась линеаризованной. В данной работе применен более точный метод диагонализации гамильтониана взаимодействия [9, 10]. Он позволяет анализировать квантовые статистические характеристики всех взаимодействующих мод на больших длинах взаимодействии. Отметим, что одновременное подавление дисперсий

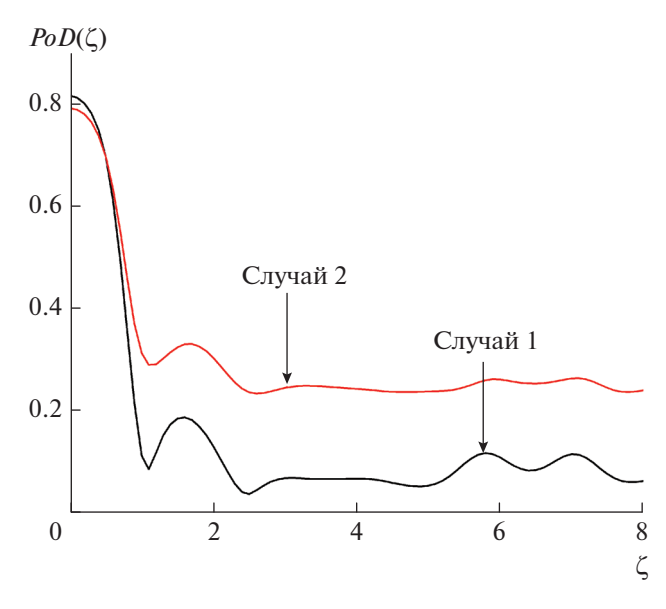


Рис. 4. Динамика степени поляризации мод lo, le для случаев 1 и 2.

всех операторов Стокса невозможно в обычном монодоменном кристалле с квадратичной нелинейностью [2, 8], но только в РДС-кристаллах [8]. При этом одновременно должны происходить два и более [8] процессов, например, параметрический (тип II) и преобразование частоты вверх, то есть, фотоны моды 10 процесса (1а) участвуют в процессе (1б).

На рис. 4 видно, что степень поляризации стремится к нулю по мере возрастания длины взаимодействия. Ухудшение степени поляризации между модами 1o и 1e возникает за счет неопределенности разности фаз между ними в процессе распространения внутри нелинейной среды. Из сопоставления случаев 1 и 2 на рис. 4 ясно, что степенью поляризации мод можно управлять дисбалансом входных интенсивностей: уменьшения среднего количества фотонов в одной моде и увеличения в другой. Однако, возможности такого управления ограничены. В любом случае увеличение длины кристалла ведет к деградации квантовой запутанности по поляризациям. Поэтому, учитывая полученные нами результаты, необходимо работать с как можно более тонкими кристаллами.

Работа выполнена при поддержке РФФИ (грант № 18-01-00598а).

СПИСОК ЛИТЕРАТУРЫ

- 1. *Чиркин А.С., Орлов А.А., Паращук Д.Ю.* // Квант. электрон. 1993. Т. 20. № 10. С. 999.
- 2. *Масалов А.В., Карасев В.П.* // Опт. и спектроск. 1993. Т. 74. № 5. С. 928.

- 3. *Бушев П.А., Карасев В.П., Масалов А.В. и др. //* Опт. и спектроск. 2001. Т. 91. № 4. С. 558.
- 4. *Соколов А.Л., Масалов А.В.* // Опт. и спектроск. 2011. Т. 111. № 6. С. 883; *Sokolov A.L., Masalov A.V.* // Opt. Spectrosc. 2011. V. 111. № 6. С. 843.
- 5. *Чиркин А.С.* // Письма в ЖЭТФ. 2016. Т. 103. № 4. С. 309; *Chirkin A.S.* // JETP Lett. 2016. V. 103. № 4. P. 282.
- 6. *Чиркин А.С.* // Опт. и спектроск. 2015. Т. 119. № 3. С. 397; *Chirkin A.S.* // Opt. Spectrosc. 2015. V. 119. № 3. P. 371.
- 7. Chirkin A.S., Gostev P.P., Agapov D.P. et al. // Laser Phys. Lett. 2018. V. 15. № 11. Art. № 115404.

- 8. *Dmitriev V.G., Singh R.* // Int. J. Quant. Inform. 2003. V. 1. № 3. P. 403.
- 9. *Белинский А.В., Сингх Р.* // Квант. электрон. 2018. T. 48. № 7. C. 611; *Belinsky A.V., Singh R.* // Quant. Electron. 2018. V. 48. № 7. P. 611.
- 10. *Белинский А.В., Сингх Р. //* Изв. РАН. Сер. физ. 2019. Т. 83. № 1. С. 37; *Belinsky A.V., Singh R. //* Bull. Russ. Acad. Sci. Phys. 2019. V. 83. № 1. P. 28.
- Luis A. Polarization in quantum optics. Progress in optics. V. 61. Amsterdam: Elsevier Science BV, 2016. P. 283.
- 12. *Ищенко Е.Ф., Соколов А.Л.* Поляризационная оптика. Изд. 3-е. М.: Физматлит. 2019. 576 с.